

FCA22N60N

N 沟道 SupreMOS® MOSFET

600 V, 22 A, 165 mΩ

特性

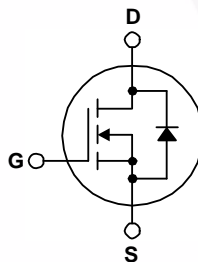
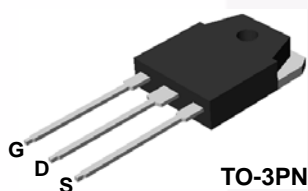
- $BV_{DSS} > 650\text{ V}$ @ $T_J = 150^\circ\text{C}$
- $R_{DS(on)} = 140\text{ m}\Omega$ (Typ.) @ $V_{GS} = 10\text{ V}$, $I_D = 11\text{ A}$
- 超低栅极电荷 (典型值 $Q_g = 45\text{ nC}$)
- 低有效输出电容 (典型值 $C_{oss(eff.)} = 196.4\text{ pF}$)
- 100% 经过雪崩测试
- 符合 RoHS 标准

应用

- PDP 电视
- 太阳能逆变器
- AC-DC 电源

说明

SupreMOS® MOSFET 是飞兆半导体的下一代高压超级结 (SJ) 技术, 该技术采用区别于传统 SJ MOSFET 产品的深沟槽填充工艺。这项先进技术和精密的工艺控制提供了最低的 R_{sp} on-resistance (导通电阻规格), 卓越的开关性能和耐用性。SupreMOS MOSFET 产品非常适合高频开关电源转换器应用, 如功率因数校正 (PFC)、服务器 / 电信电源、平板电视电源、ATX 电源及工业电源应用。



MOSFET 最大额定值指的是 $T_C = 25^\circ\text{C}$ 除非另有说明。

符号	参数	FCA22N60N	单位
V_{DSS}	漏极-源极电压	600	V
V_{GSS}	栅极-源极电压	± 30	V
I_D	漏极电流	- 连续 ($T_C = 25^\circ\text{C}$)	22
		- 连续 ($T_C = 100^\circ\text{C}$)	13.8
I_{DM}	漏极电流	- 脉冲 (注 1)	66
E_{AS}	单脉冲雪崩能量	(注 2)	672
I_{AR}	雪崩电流	(注 1)	7.3
E_{AR}	重复雪崩能量	(注 1)	2.75
dv/dt	MOSFET dv/dt		100
	二极管恢复 dv/dt 峰值	(注 3)	20
P_D	功耗	($T_C = 25^\circ\text{C}$)	205
		- 超过 25°C 时降额	1.64
T_J, T_{STG}	工作和存储温度范围	-55 至 +150	$^\circ\text{C}$
T_L	用于焊接的最大引脚温度, 距离外壳 1/8", 持续 5 秒	300	$^\circ\text{C}$

热性能

符号	参数	FCA22N60N	单位
$R_{\theta JC}$	结至外壳热阻最大值	0.61	$^\circ\text{C}/\text{W}$
$R_{\theta JA}$	结至环境热阻最大值	40	

封装标识与订购信息

器件编号	顶标	封装	包装方法	卷尺寸	带宽	数量
FCA22N60N	FCA22N60N	TO-3PN	塑料管	不适用	不适用	30 单元

电气特性 $T_C = 25^\circ\text{C}$ 除非另有说明。

符号	参数	测试条件	最小值	典型值	最大值	单位
----	----	------	-----	-----	-----	----

关断特性

BV_{DSS}	漏极-源极击穿电压	$I_D = 1\text{ mA}, V_{GS} = 0\text{ V}, T_J = 25^\circ\text{C}$ $I_D = 1\text{ mA}, V_{GS} = 0\text{ V}, T_J = 150^\circ\text{C}$	600 650	- -	- -	V
$\Delta BV_{DSS} / \Delta T_J$	击穿电压温度系数	$I_D = 1\text{ mA}$, 参考 25°C	-	0.68	-	$V/^\circ\text{C}$
I_{DSS}	零栅极电压漏极电流	$V_{DS} = 480\text{ V}, V_{GS} = 0\text{ V}$ $V_{DS} = 480\text{ V}, T_J = 125^\circ\text{C}$	- -	- -	10 100	μA
I_{GSS}	栅极-体漏电流	$V_{GS} = \pm 50\text{ V}, V_{DS} = 0\text{ V}$	-	-	± 100	nA

导通特性

$V_{GS(th)}$	栅极阈值电压	$V_{GS} = V_{DS}, I_D = 250\ \mu\text{A}$	2.0	3	4.0	V
$R_{DS(on)}$	漏极至源极静态导通电阻	$V_{GS} = 10\text{ V}, I_D = 11\text{ A}$	-	0.140	0.165	Ω
g_{FS}	正向跨导	$V_{DS} = 20\text{ V}, I_D = 11\text{ A}$	-	22	-	S

动态特性

C_{iss}	输入电容	$V_{DS} = 100\text{ V}, V_{GS} = 0\text{ V},$ $f = 1\text{ MHz}$	-	1950	-	pF
C_{oss}	输出电容		-	75.9	-	pF
C_{rss}	反向传输电容		-	3	-	pF
C_{oss}	输出电容	$V_{DS} = 380\text{ V}, V_{GS} = 0\text{ V}, f = 1\text{ MHz}$	-	43.2	-	pF
$C_{oss(eff.)}$	有效输出电容	$V_{DS} = 0\text{ V to } 480\text{ V}, V_{GS} = 0\text{ V}$	-	196.4	-	pF
$Q_{g(tot)}$	10 V 的栅极电荷总量	$V_{DS} = 380\text{ V}, I_D = 11\text{ A},$ $V_{GS} = 10\text{ V}$ (说明 4)	-	45	-	nC
Q_{gs}	栅极-源极栅极电荷		-	8.7	-	nC
Q_{gd}	栅极-漏极“密勒”电荷		-	14.5	-	nC
ESR	等效串联电阻 (G-S)	$f = 1\text{ MHz}$	-	1	-	Ω

开关特性

$t_{d(on)}$	导通延迟时间	$V_{DD} = 380\text{ V}, I_D = 11\text{ A},$ $V_{GS} = 10\text{ V}, R_G = 4.7\ \Omega$ (说明 4)	-	16.9	-	ns
t_r	开通上升时间		-	16.7	-	ns
$t_{d(off)}$	关断延迟时间		-	49	-	ns
t_f	关断下降时间		-	4	-	ns

漏极-源极二极管特性

I_S	漏极-源极二极管最大正向连续电流	-	-	22	A	
I_{SM}	漏极-源极二极管最大正向脉冲电流	-	-	66	A	
V_{SD}	漏极-源极二极管正向电压	$V_{GS} = 0\text{ V}, I_{SD} = 11\text{ A}$	-	-	1.2	V
t_{rr}	反向恢复时间	$V_{GS} = 0\text{ V}, I_{SD} = 11\text{ A},$ $di_F/dt = 100\text{ A}/\mu\text{s}$	-	350	-	ns
Q_{rr}	反向恢复电荷		-	6	-	μC

注意:

- 重复额定值: 脉冲宽度受限于最大结温。
- $I_{AS} = 7.3\text{ A}$, $R_G = 25\ \Omega$, 启动 $T_J = 25^\circ\text{C}$ 。
- $I_{SD} \leq 22\text{ A}$, $di/dt \leq 200\text{ A}/\mu\text{s}$, $V_{DD} \leq 380\text{ V}$, 启动 $T_J = 25^\circ\text{C}$ 。
- 本质上独立于工作温度的典型特性。

典型性能特征

图 1. 导通区域特性

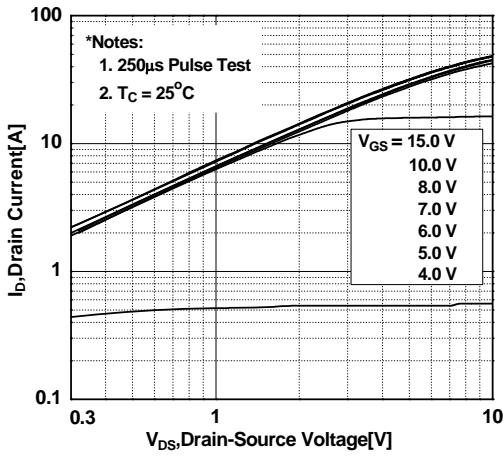


图 2. 传输特性

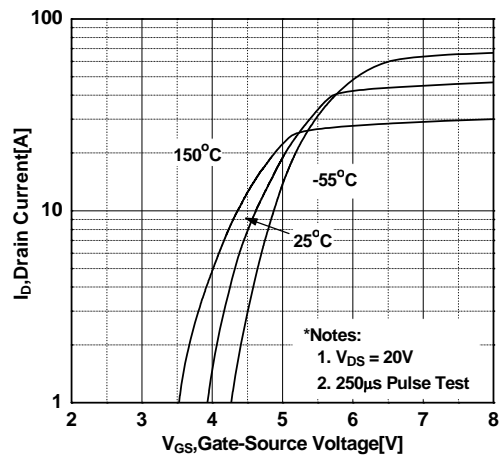


图 3. 导通电阻变化与漏极电流和栅极电压

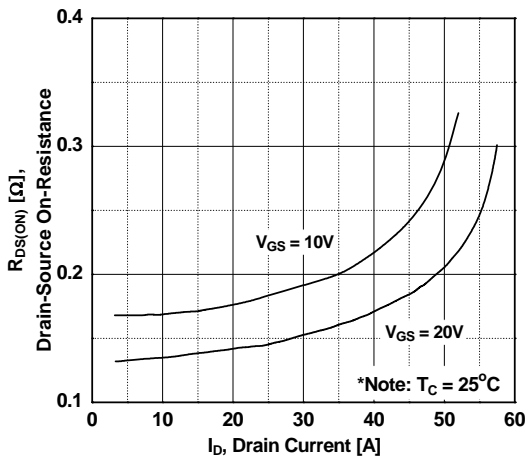


图 4. 体二极管正向电压变化与源电流和温度

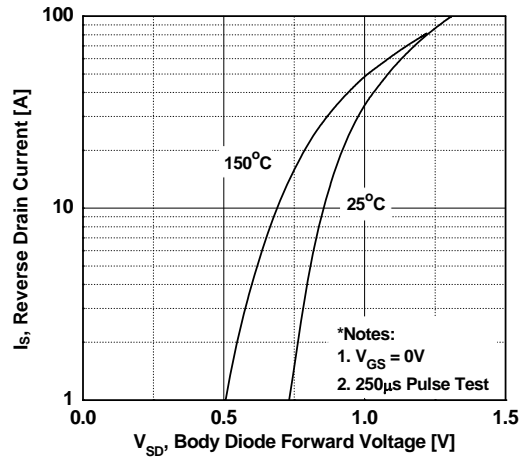


图 5. 电容特性

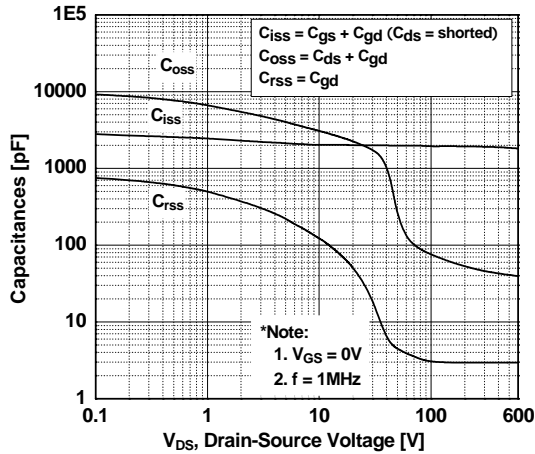
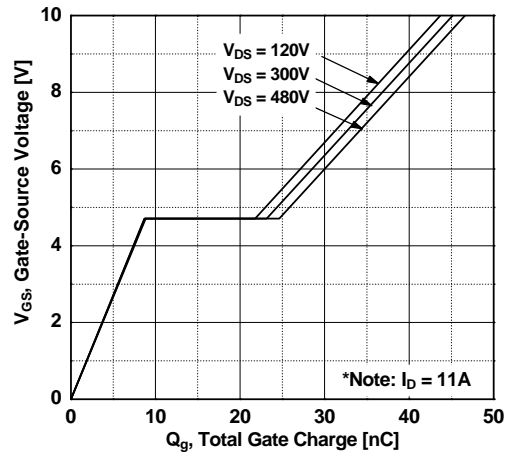


图 6. 栅极电荷



典型性能特征 (接上页)

图 7. 击穿电压变化与温度

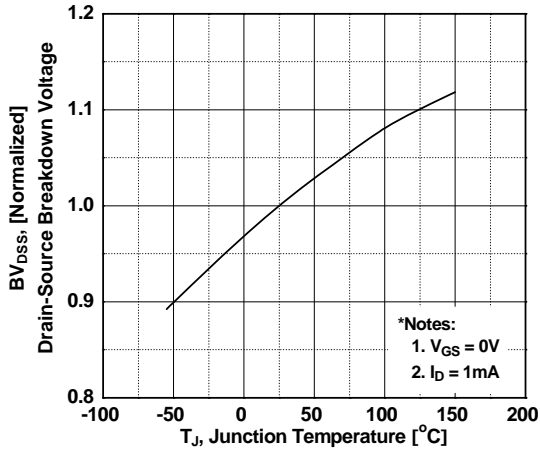


图 8. 导通电阻变化与温度

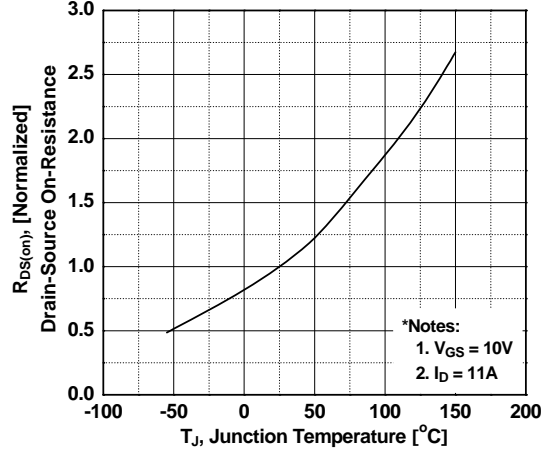


图 9. 最大安全工作区

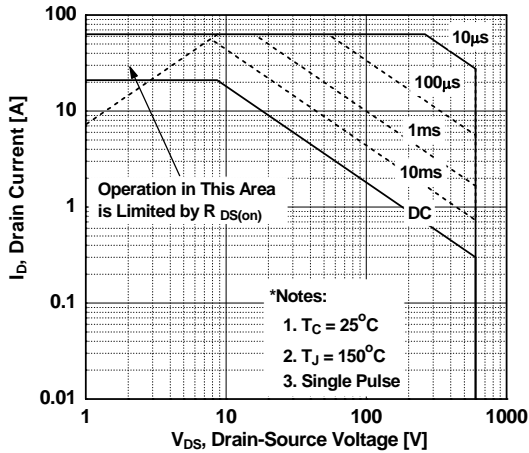


图 10. 最大漏极电流与壳体温度

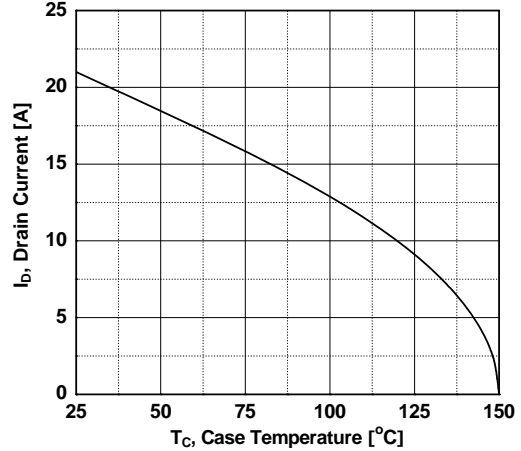
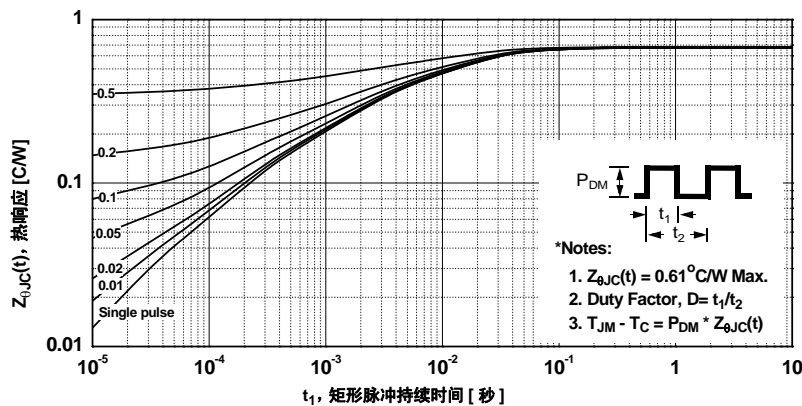


图 11. 瞬态热响应曲线



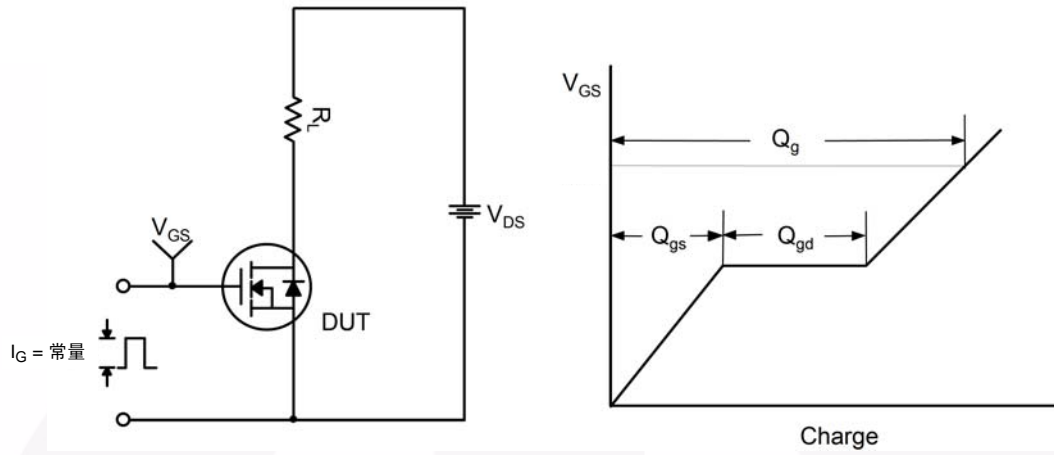


图 12. 栅极电荷测试电路与波形

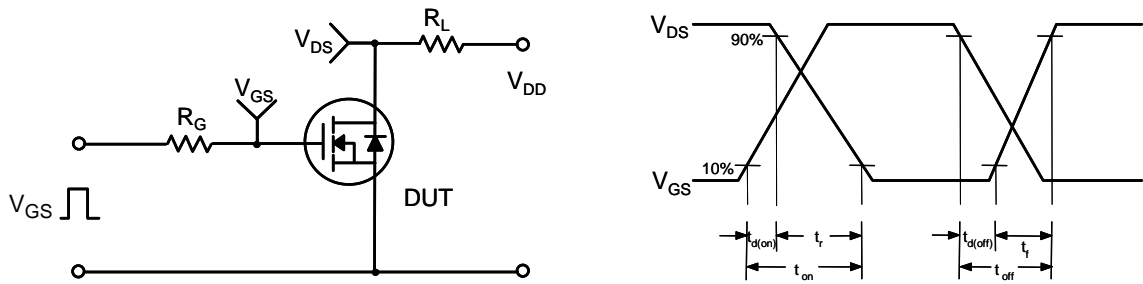


图 13. 阻性开关测试电路与波形

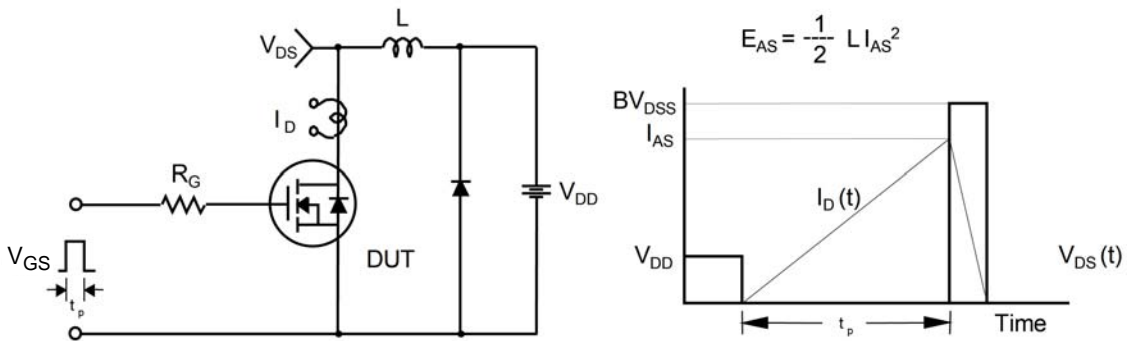


图 14. 非箝位感性开关测试电路与波形

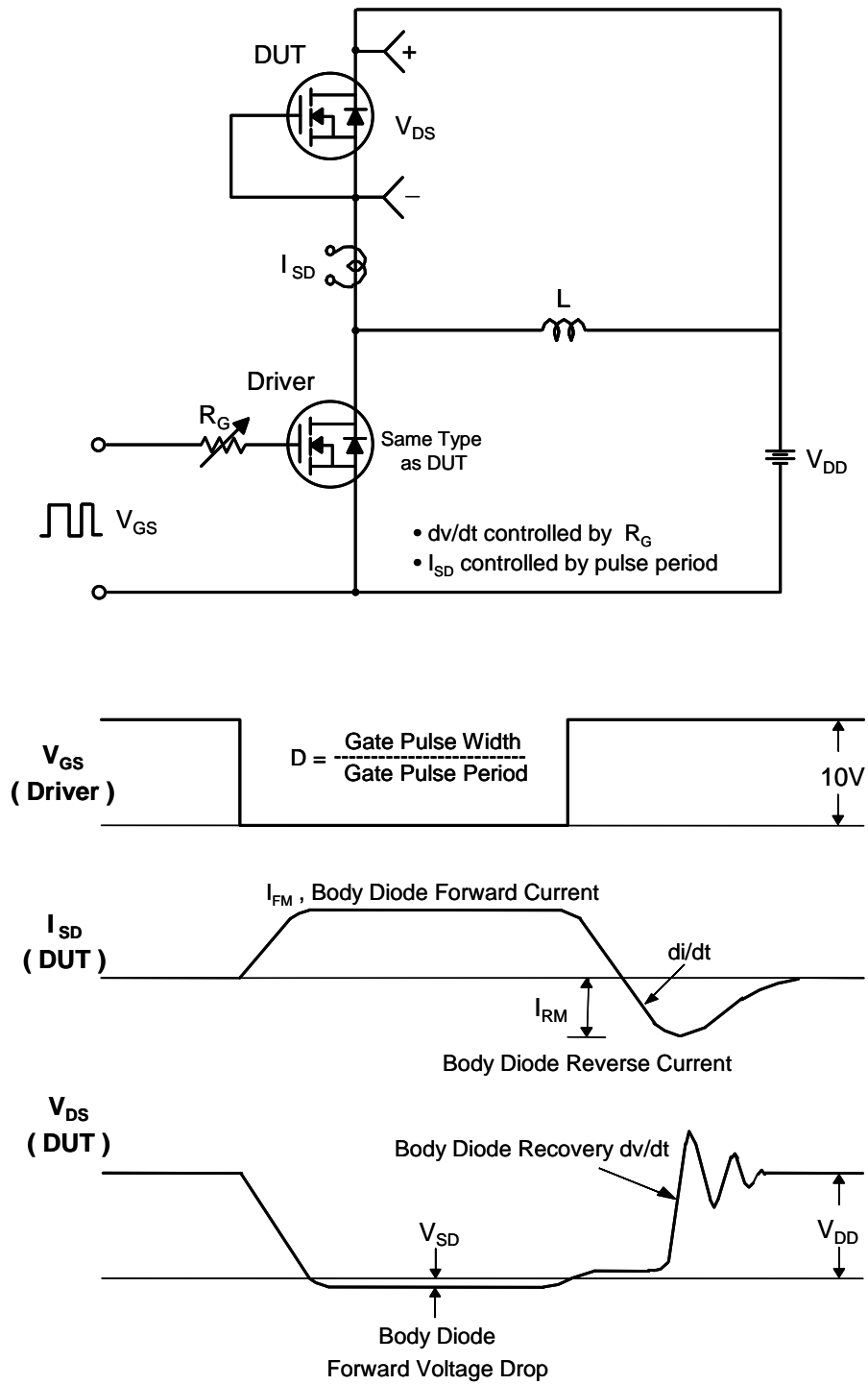
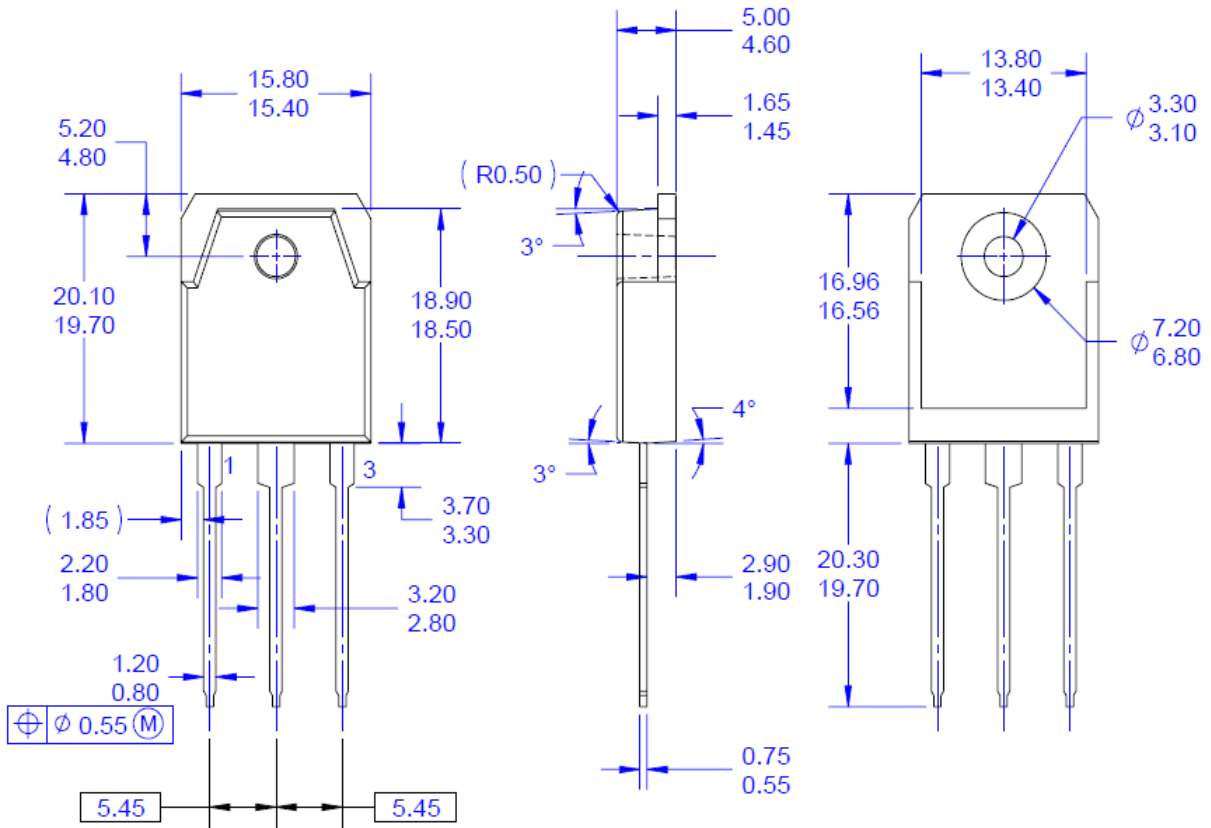


图 15. 二极管恢复 dv/dt 峰值测试电路与波形

机械尺寸



NOTES: UNLESS OTHERWISE SPECIFIED

- A) THIS PACKAGE CONFORMS TO EIAJ SC-65 PACKAGING STANDARD.
- B) ALL DIMENSIONS ARE IN MILLIMETERS.
- C) DIMENSION AND TOLERANCING PER ASME14.5
- D) DIMENSIONS ARE EXCLUSIVE OF BURRS, MOLD FLASH, AND TIE BAR EXTRUSIONS.
- E) THIS PACKAGE IS INTENDED ONLY FOR TO3PN.
- F) DRAWING FILE NAME: TO3P03AREV4.

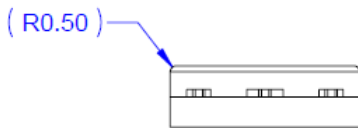


图 16. TO3, 3 引脚、塑料, EIAJ SC-65

封装图纸作为一项服务, 提供给考虑飞兆半导体元件的客户。具体参数可能会有变化, 且不会做出相应通知。请注意图纸上的版本和 / 或日期, 并联系飞兆半导体代表核实或获得最新版本。封装规格并不超出飞兆公司全球范围内的条款与条件, 尤其指保修, 保修涵盖飞兆半导体的全部产品。

随时访问飞兆半导体在线封装网页, 可以获取最新的封装图纸:

http://www.fairchildsemi.com/package/packageDetails.html?id=PN_TT3P0-003

